

## IX. ANEXOS

## Anexo 1

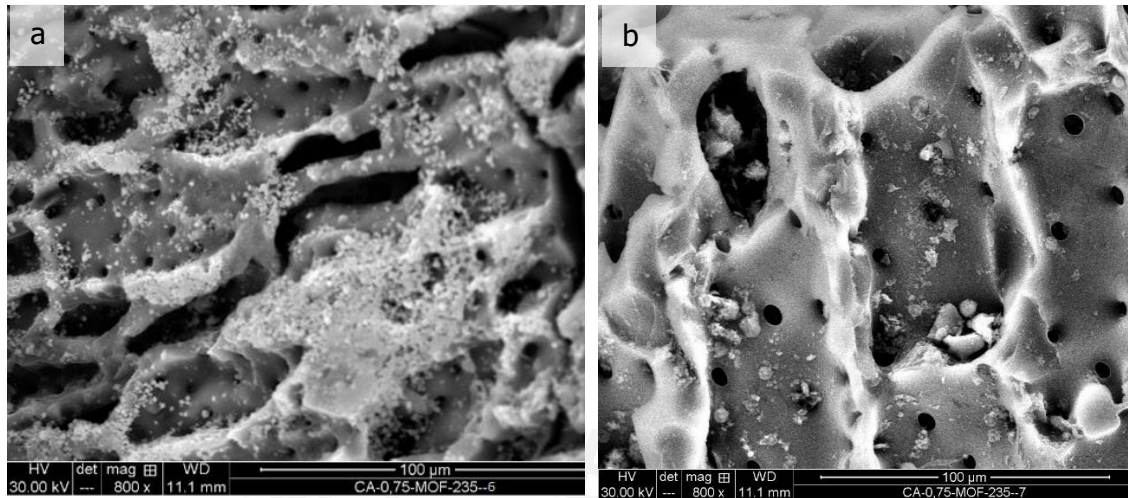
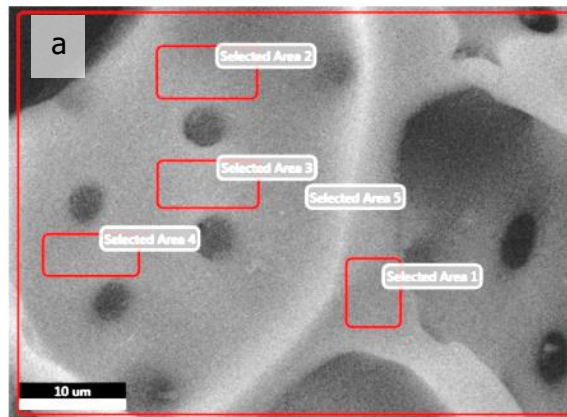


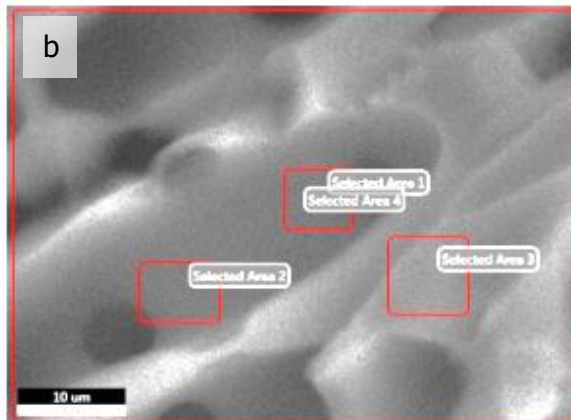
Figura 1. Micrografía SEM de material compuesto preparado por rotoevaporación a) CAF-0,75-MOF con presencia de aglomerados de armazón metal orgánico obstruyendo poros y b) CAF-0,75-MOF luego de agitación por 1h en agua con ausencia o desprendimiento de los armazones metal orgánicos.

Anexo 2



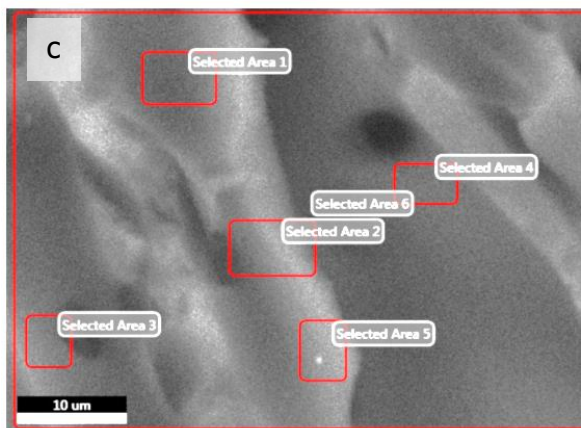
Área 5

Element	Weight %	Atomic %	Net Int.	Error %
C K	82.62	87.93	45.41	8.61
O K	12.67	10.12	3.7	22.03
P K	4.72	1.95	31.16	7.97



Area 4

Element	Weight %	Atomic %	Net Int.	Error %
C K	86.64	90.63	49.61	7.4
O K	10.39	8.16	2.56	24.37
P K	2.97	1.2	17.2	10.21



Área 6

Element	Weight %	Atomic %	Net Int.	Error %
C K	93.24	97.53	36.2	8.91
P K	5.26	2.13	24.8	8.58
Fe K	1.5	0.34	3.3	34.1

Figura 1. Composición química de las muestras de carbón activado a) CA-0,75; b) CA-1,25 y c) CA-1,5.

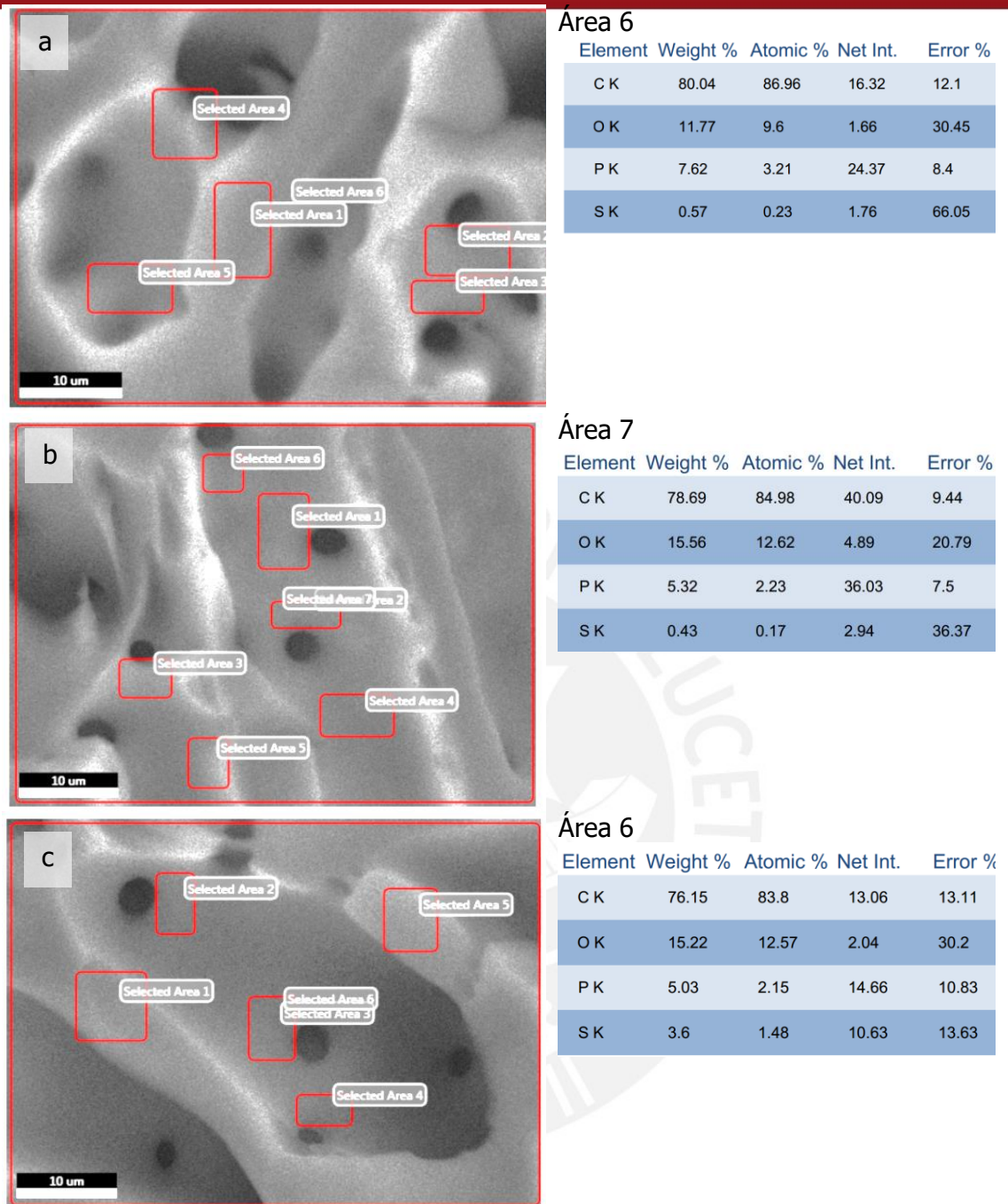
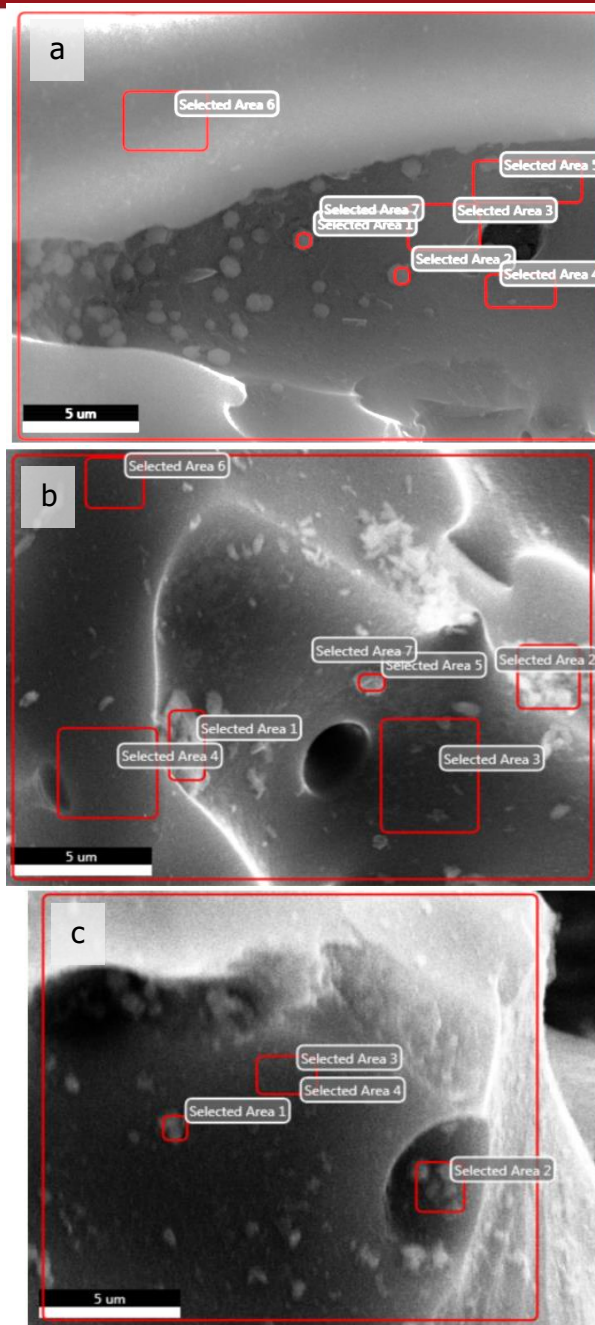


Figura 2. Composición química de las muestras de carbón activado funcionalizado a) CAF-0,75; b) CAF-1,25 y c) CAF-1,5.





Área 7

Element	Weight %	Atomic %	Net Int.	Error %
C K	82.6	88.45	481.56	6.8
O K	11.37	9.14	37.41	13.37
P K	5.52	2.29	412.91	2.45
FeK	0.51	0.12	18.22	22.59

Área 7

Element	Weight %	Atomic %	Net Int.	Error %
C K	72.96	79.42	242.11	6.98
N K	5.6	5.23	2.84	27.35
O K	16.55	13.52	29.38	13.94
P K	2.62	1.11	74.1	6.52
S K	1.14	0.46	33.54	9.94
FeK	1.13	0.26	12.57	19.25

Área 4

**eZAF Smart Quant Results**

Element	Weight %	Atomic %	Net Int.	Error %
C K	76.99	83.82	213.9	7.61
O K	16.71	13.66	28.66	13.76
P K	5.36	2.26	142.41	3.43
S K	0.2	0.08	5.21	43.19
FeK	0.74	0.17	7.73	28.51

Figura 3. Composición química de las muestras de Composite a) CAF-0,75-MOF; b) CAF-1,25-MOF y c) CAF-1,5-MOF.

Anexo 3

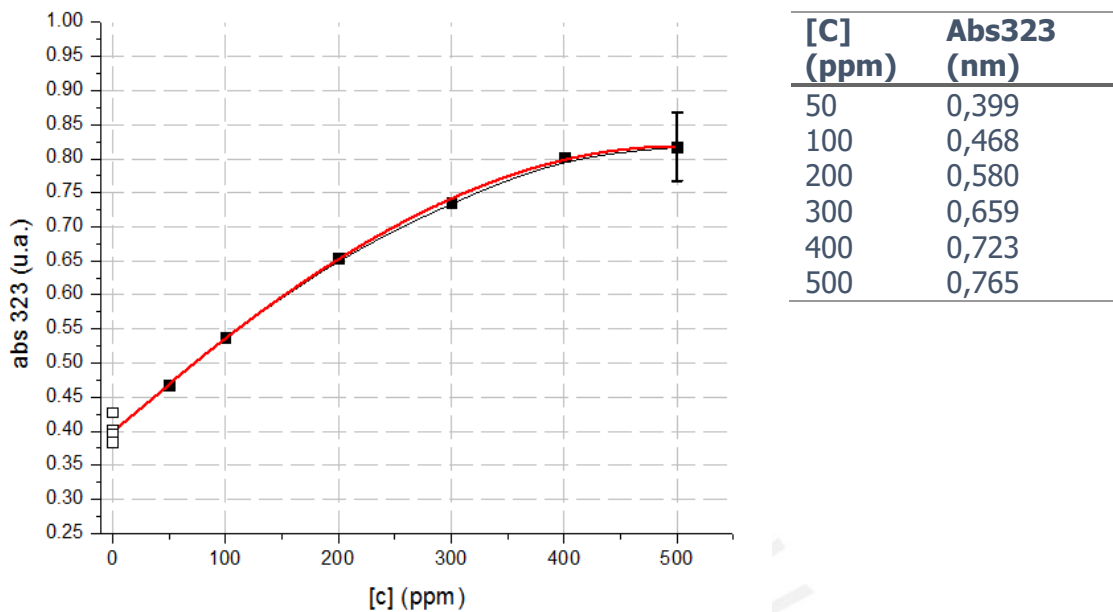


Figura 1. Concentración de DMA respecto al valor de absorbancia a 323 nm luego de aplicar el método de determinación de DMA por derivatización.

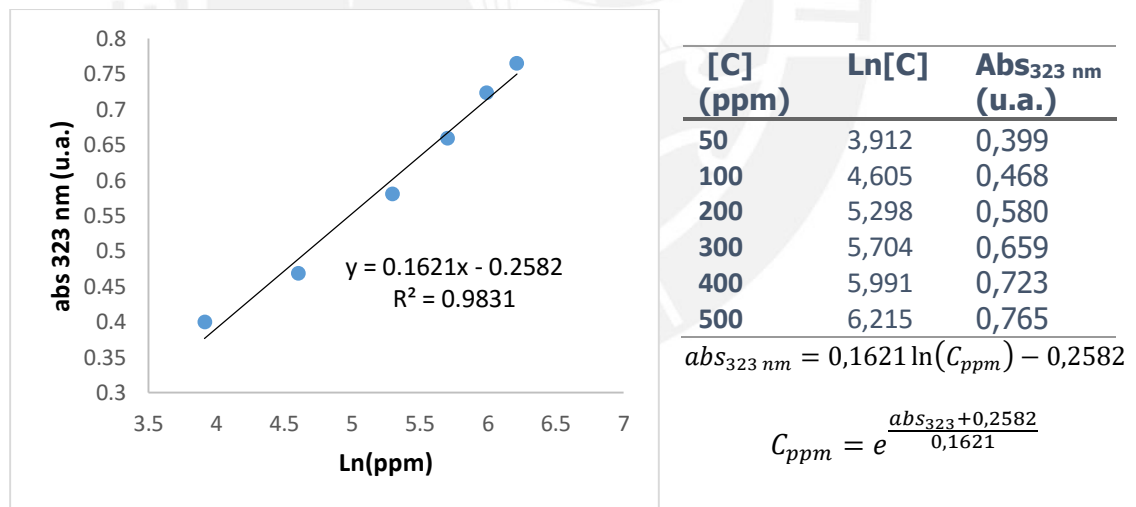


Figura 2. Curva de calibración aplicando logaritmo de la concentración de DMA respecto al valor de absorbancia a 323 nm en el rango de 50 a 500 ppm.

Anexo 4.

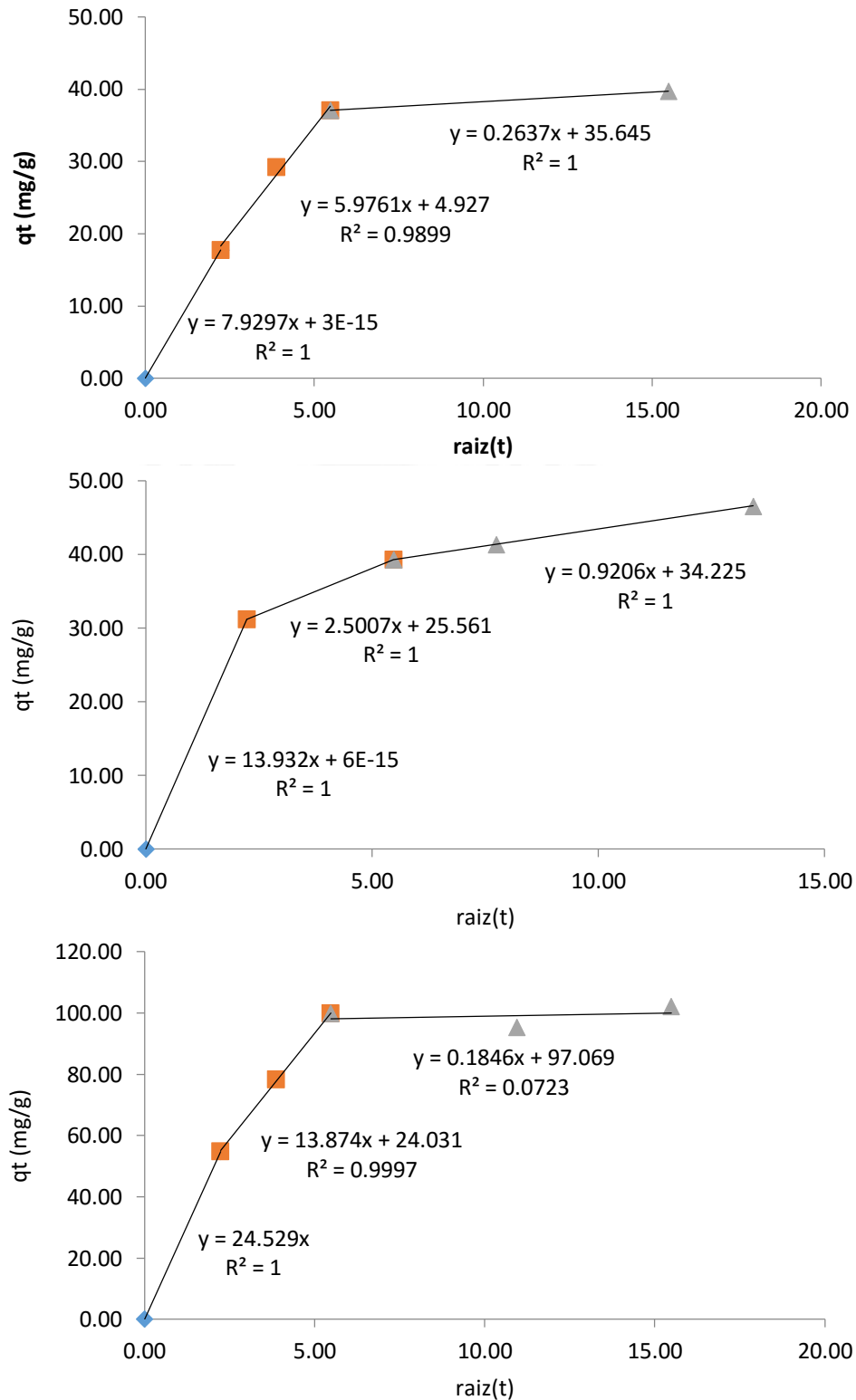


Figura 1. Gráficos de correlación usando el modelo de difusividad intraparticulador para el proceso de adsorción de DMA en carbón activado; a) CA-0,75, b) CA-1,25 y c) CA-1,5

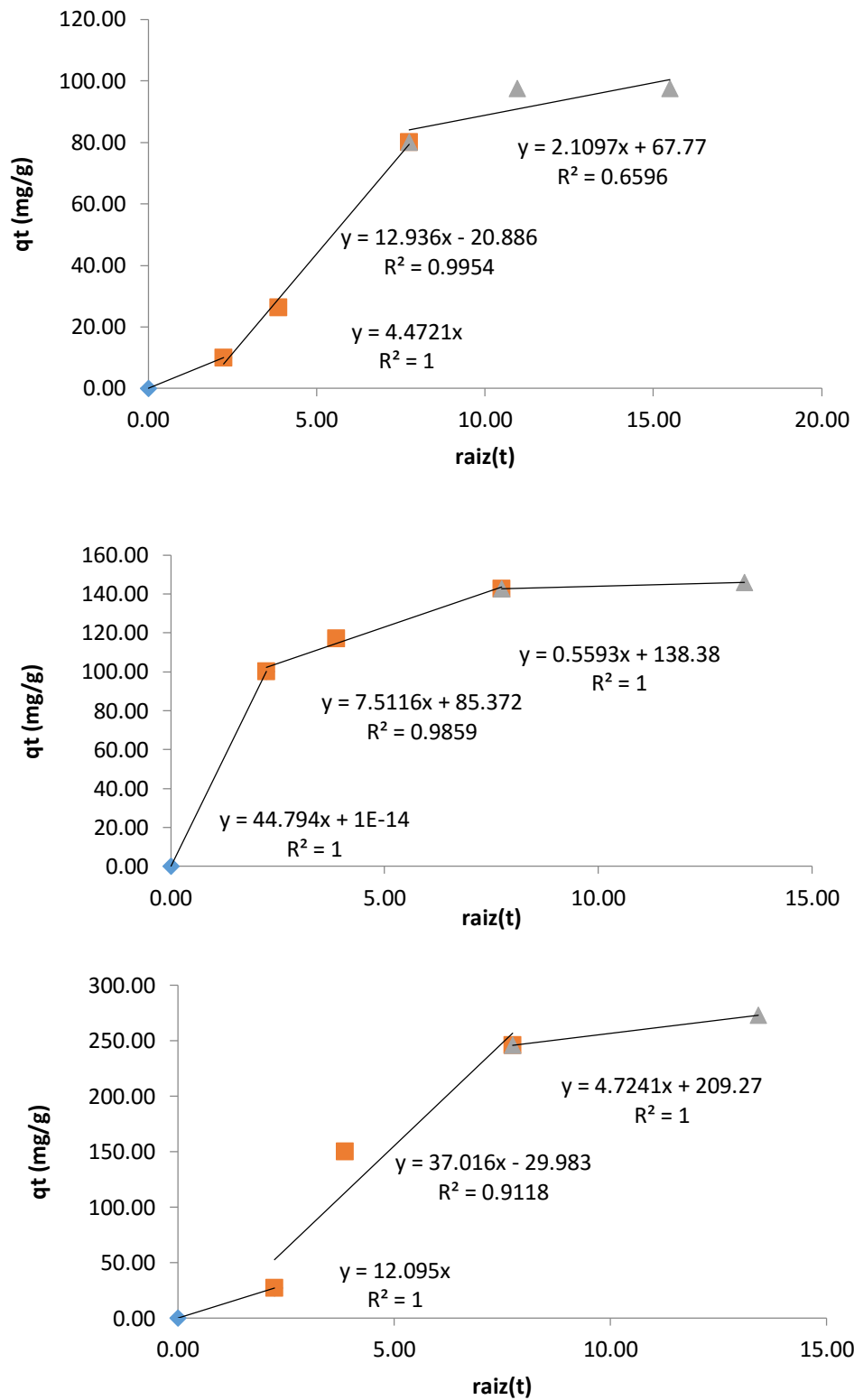


Figura 2. Gráficos de correlación usando el modelo de difusividad intraparticular para el proceso de adsorción de DMA en carbón activado funcionalizado; a) CAF-0,75, b) CAF-1,25 y c) CAF-1,5.

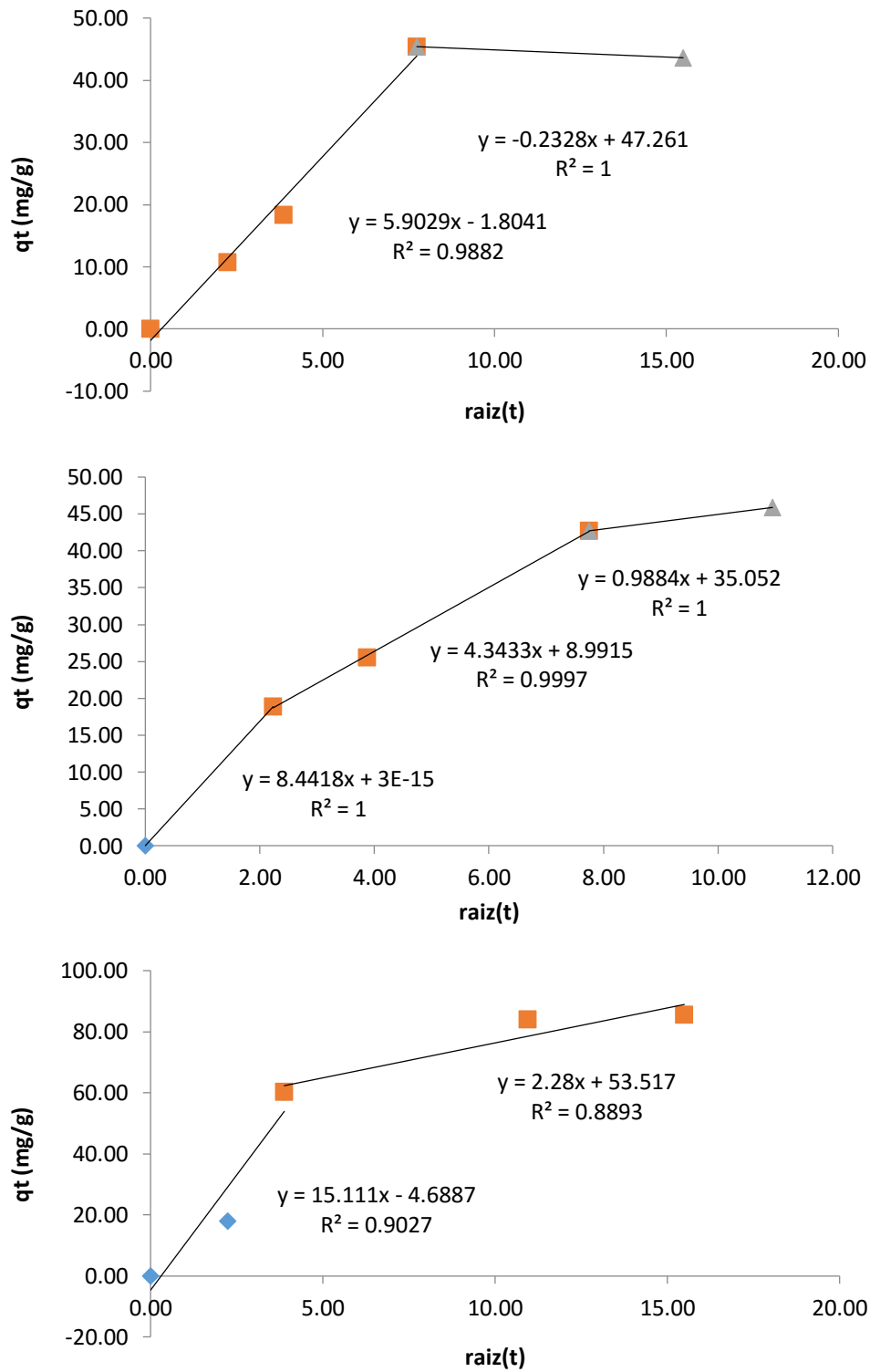


Figura 3. Gráficos de correlación usando el modelo de difusividad intraparticular para el proceso de adsorción de DMA en material compuesto; a) CAF-0,75-MOF, b) CAF-1,25-MOF y c) CAF-1,5-MOF.